

Modelagem de Sistemas Dinâmicos

Trabalho 4

Erica da Cunha Ferreira

Novembro 2020



UFRJ

Sumário

1	Introdução	1
2	Metodologia	2
2.1	Análise de Lagrange	3
2.2	Equações de Estado do Modelo Dinâmico	6
2.3	Linearização	8
2.4	Simulações	10
2.4.1	S-Function	10
2.4.2	ode45	11
2.4.3	Modelo Linear	12
3	Discussão de Resultados	16
3.1	Análises	16
3.1.1	Variação do <i>body yaw</i>	16
3.1.2	Variação do <i>body yaw</i>	16
3.2	Controle Realimentado	16

1 Introdução

Este trabalho tem como objetivo analisar o sistema do *Segway*, como um pêndulo invertido de duas rodas.

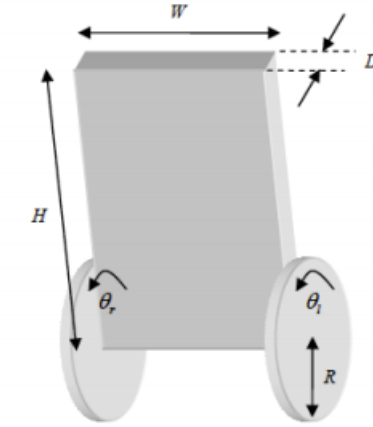


Figura 1: Sistema de Pêndulo Invertido

Abaixo temos as vistas lateral e superior do sistema.

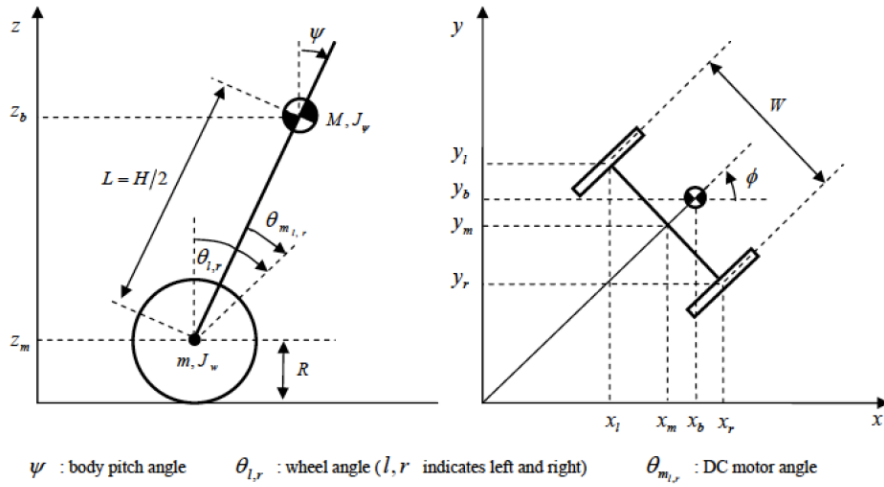


Figura 2: Visão Lateral e Superior do Sistema

Temos os parâmetros físicos deste sistema que são:

- $g = 0.98 \text{ m/s}^2$, gravidade.
- $m = 0.03 \text{ kg}$, peso da roda.
- $R = 0.04 \text{ m}$, rádio da roda.
- $M = 0.6 \text{ kg}$, peso do corpo.
- $W = 0.14 \text{ m}$, largura do corpo.
- $D = 0.04 \text{ m}$, profundidade do corpo.
- $H = 0.144 \text{ m}$, altura do corpo.
- $J_m = 10^{-5} \text{ kg} \cdot \text{m}^2$, inércia do motor DC.
- $R_m = 6.69 \Omega$, resistência do motor DC.
- $K_t = K_e = 0.4$, constante de torque e de EMF.

2 Metodologia

A partir desses dados e da figura dos sistema podemos chegar às seguintes equações:

$$J_w = \frac{m \cdot R^2}{2} \quad (1)$$

$$L = \frac{H}{2} \quad (2)$$

$$J_y = \frac{M \cdot L^2}{3} \quad (3)$$

$$J_o = \frac{M \cdot (W^2 + D^2)}{12} \quad (4)$$

$$\alpha = \frac{n \cdot K_t}{R_m} \quad (5)$$

$$\beta = \frac{n \cdot K_t \cdot K_b}{R_m} + f_m \quad (6)$$

$$J = \frac{W^2 \cdot (b + f_w)}{2R^2} \quad (7)$$

$$I = \frac{m \cdot W^2}{2} + J_o + \frac{W^2 \cdot (J_w + J_m \cdot n^2)}{2 \cdot R^2} \quad (8)$$

$$K = \frac{W \cdot a}{2R} \quad (9)$$

$$f_w = 0 \quad (10)$$

$$n = 1 \quad (11)$$

$$F_m = 0.0022 \quad (12)$$

2.1 Análise de Lagrange

Ao analisar a **Figura 2** e ao considerar a direção positiva para o pêndulo no tempo de $t = 0$ segundos, chegamos às seguintes expressões do sistema:

$$\theta, \phi = \frac{(\theta_1 + \theta_r) \cdot (\theta_r - \theta_i) \cdot R}{2 \cdot W} \quad (13)$$

$$x_m, y_m, z_m = \int \dot{x}_m dt, \int \dot{y}_m dt, R \quad (14)$$

$$\dot{x}_m, \dot{y}_m = R \cdot \dot{\theta} \cdot \cos \phi, R \cdot \dot{\theta} \cdot \sin \phi \quad (15)$$

$$x_l, y_l, z_l = x_m - \frac{W \cdot \sin \phi}{2}, y_m + \frac{W \cdot \cos \phi}{2}, z_m \quad (16)$$

$$x_r, y_r, z_r = x_m + \frac{W \cdot \sin \phi}{2}, y_m - \frac{W \cdot \cos \phi}{2}, z_m \quad (17)$$

$$x_b, y_b, z_b = x_m + L \cdot \sin \Psi \cdot \cos \phi, y_m + L \cdot \sin \Psi \sin \phi, z_m + L \cdot \cos \Psi \quad (18)$$

Sendo T_1 e T_2 as energias cinéticas de translação e rotação, respectivamente, e U a energia potencial total do sistema, temos:

$$T_1 = \frac{m \cdot [(\dot{x}_l^2 + \dot{y}_l^2 + \dot{z}_l^2) + (\dot{x}_r^2 + \dot{y}_r^2 + \dot{z}_r^2)] + M \cdot [(\dot{x}_b^2 + \dot{y}_b^2 + \dot{z}_b^2)]}{2} \quad (19)$$

$$T_2 = \frac{J_w(\dot{\theta}_l^2 + \dot{\theta}_r^2) + J_\Psi \dot{\Psi}^2 + J_\phi \dot{\phi}^2 + n^2 J_m[(\dot{\theta}_l - \dot{\phi})^2 + (\dot{\theta}_r - \dot{\Psi})^2]}{2} \quad (20)$$

$$U = mgz_l + mgz_r + Mgz_b \quad (21)$$

Partindo do princípio geral do Lagrangiano:

$$L = T_1 + T_2 - U \quad (22)$$

Sendo as nossas variáveis generalizadas:

$$\lambda = \begin{bmatrix} \theta \\ \Psi \\ \phi \end{bmatrix} \quad (23)$$

Então, temos como base as expressões:

$$\frac{d}{dt} \left(\frac{\partial L}{\partial \dot{\theta}} \right) - \frac{\partial L}{\partial \theta} = F_\theta \quad (24)$$

$$\frac{d}{dt} \left(\frac{\partial L}{\partial \dot{\Psi}} \right) - \frac{\partial L}{\partial \Psi} = F_\Psi \quad (25)$$

$$\frac{d}{dt} \left(\frac{\partial L}{\partial \dot{\phi}} \right) - \frac{\partial L}{\partial \phi} = F_\phi \quad (26)$$

Com isso temos que:

$$[(2m+M)R^2 + 2J_w + 2n^2 J_m] \ddot{\theta} + (MLR \cdot \cos \Psi - 2n^2 J_m) \ddot{\Psi} - MLR \Psi 2 \sin \Psi = F_\theta \quad (27)$$

$$(MLP \cdot \cos \Psi + 2n^2 J_m) \ddot{\theta} + (ML^2 + J_\Psi + 2n^2 J_m) \ddot{\Psi} - MgL \sin \Psi - ML^2 \dot{\phi}^2 \sin \Psi \cos \Psi = F_\Psi \quad (28)$$

$$\left(\frac{m \cdot W^2 J_\phi}{2} + \frac{W^2 \cdot (J_w + n^2 J_m)}{2R^2} + ML^2 \sin^2 \Psi \right) \ddot{\theta} + 2 \cdot ML^2 \cdot \dot{\phi} \cdot \dot{\Psi} \cdot \sin \Psi \cdot \cos \Psi = F_\phi \quad (29)$$

Considerando o torque do motor DC e atrito, temos as seguintes forças generalizadas do sistema:

$$F_\theta, F_\Psi, F_\phi = F_l + F_r, F_\Psi, \frac{W \cdot (F_r - F_l)}{2 \cdot R}$$

$$F_l = nK_t i_l + f_m(\dot{\Psi} - \dot{\theta}_l) - f_w \dot{\theta}_l$$

$$F_r = nK_t i_r + f_m(\dot{\Psi} - \dot{\theta}_r) - f_w \dot{\theta}_r$$

$$F_\Psi = -nK_t i_r - nK_t i_r - f_m(\dot{\Psi} - \dot{\theta}_r)$$

Sendo $i_{l,r}$ equivalente à corrente do motor DC. A relação entre corrente e tensão do motor DC é dada por:

$$i_{l,r} = \frac{v_{l,r} + K_b(\dot{\Psi} - \dot{\theta}_{l,r})}{R_m} \quad (30)$$

Considerando o atrito interno e a indutância do motor como desprezíveis, podemos escrever as forças generalizadas do sistema da seguinte forma:

$$F_\theta = \alpha(v_l - v_r) - 2\dot{\theta}(\beta + f_w) + 2 \cdot \beta \cdot \dot{\Psi}$$

$$F_\Psi = -\alpha \cdot (v_l + v_r) + 2\beta \cdot (\dot{\theta} + \dot{\Psi}) \quad (31)$$

$$F_\phi = \frac{W \cdot \alpha \cdot (v_r - v_l)}{2R} - \frac{W^2 \cdot (\beta + f_w) \cdot \dot{\phi}}{2R^2}$$

$$\alpha = \frac{nK_t}{R_m}$$

$$\beta = \frac{nK_t K_b}{R_m} + f_m$$

2.2 Equações de Estado do Modelo Dinâmico

Será utilizada a formulação abaixo para descrever o modelo no espaço de estados:

$$E \begin{bmatrix} \ddot{\theta} \\ \ddot{\Psi} \end{bmatrix} + F \begin{bmatrix} \dot{\theta} \\ \dot{\Psi} \end{bmatrix} + G \begin{bmatrix} \theta \\ \Psi \end{bmatrix} + N = H \begin{bmatrix} v_l \\ v_r \end{bmatrix} \quad (32)$$

$$I\ddot{\phi} + J\dot{\phi} + N_2 = K(v_r - v_l) \quad (33)$$

Em que,

$$I = \frac{mW^2}{2} + J_\phi + \frac{W^2 \cdot (J_w + n^2 J_m)}{2R^2} + ML^2 \sin^2 \Psi \quad (34)$$

$$J = \frac{W^2 \cdot (\beta + f_w)}{2R^2} \quad (35)$$

$$K = \frac{W \cdot \alpha}{2R} \quad (36)$$

$$E = \begin{bmatrix} (2m + M)R^2 + 2 \cdot (J_m n^2 + J_w) & MLR \cos \Psi - 2J_m n^2 \\ MLR \cos \Psi - 2J_m n^2 & ML^2 + J_\Psi + 2J_m n^2 \end{bmatrix} \quad (37)$$

$$E = 2 \begin{bmatrix} \beta + f_w & -\beta \\ -\beta & \beta \end{bmatrix} \quad (38)$$

$$G = \begin{bmatrix} 0 & 0 \\ 0 & 0 \end{bmatrix} \quad (39)$$

$$H = 2 \begin{bmatrix} \alpha & \alpha \\ -\alpha & -\alpha \end{bmatrix} \quad (40)$$

$$N_1 = \begin{bmatrix} -MLR \cdot \dot{\Psi}^2 \cdot \sin \Psi \\ \frac{-MgL \sin \Psi - ML^2 \dot{\phi} \sin \Psi \cdot \cos \Psi}{\det(E)} \end{bmatrix} \quad (41)$$

$$N_2 = 2ML^2 \cdot \dot{\phi} \cdot \dot{\Psi} \cdot \sin \Psi \cdot \cos \Psi \quad (42)$$

Dados x_1 e x_2 as variáveis de estado, e u a entrada, então:

$$x_1^T = [\theta \quad \Psi \quad \dot{\theta} \quad \dot{\Psi}] \quad (43)$$

$$x_2^T = [\phi \quad \dot{\phi}] \quad (44)$$

$$u^T = [v_l \quad v_r] \quad (45)$$

Logo:

$$\dot{x}_1 = A_1 x_1 + B_1 u + C_1 \quad (46)$$

$$\dot{x}_2 = A_2 x_1 + B_2 u + C_2 \quad (47)$$

Sendo,

$$A_1 = \begin{bmatrix} 0 & 0 & 1 & 0 \\ 0 & 0 & 0 & 1 \\ 0 & 0 & A_1(3,3) & A_1(3,4) \\ 0 & 0 & A_1(4,3) & A_1(4,4) \end{bmatrix} \quad (48)$$

$$B_1 = \begin{bmatrix} 0 & 0 \\ 0 & 0 \\ B_1(3) & B_1(3) \\ B_1(4) & B_1(4) \end{bmatrix} \quad (49)$$

$$A_2 = \begin{bmatrix} 0 & 1 \\ 0 & -\frac{J}{I} \end{bmatrix} \quad (50)$$

$$B_2 = \begin{bmatrix} 0 & 0 \\ -\frac{K}{I} & \frac{K}{I} \end{bmatrix} \quad (51)$$

$$C_1 = \frac{-N_1}{det} \quad (52)$$

$$C_2 = \frac{-N_2}{det} \quad (53)$$

Estes elementos podem ser descritos como:

$$det = det(E) \quad (54)$$

$$A_1(3,3) = -\frac{2 \cdot [(b + f_w) \cdot E(2,2)] + b \cdot E(1,2)}{det} \quad (55)$$

$$A_1(4,3) = \frac{2 \cdot [(b + f_w) \cdot E(1,2)] + b \cdot E(1,1)}{det} \quad (56)$$

$$A_1(3,4) = \frac{2b \cdot (E(2,2) + E(1,2))}{det} \quad (57)$$

$$A_1(4,4) = -\frac{2 \cdot b \cdot [E(1,1) + E(1,2)]}{det} \quad (58)$$

$$B_1(3) = \frac{\alpha \cdot [E(2,2) + E(1,2)]}{det} \quad (59)$$

$$B_1(4) = -\frac{\alpha \cdot [E(1,1) + E(1,2)]}{det} \quad (60)$$

2.3 Linearização

A partir das equações de estado, indicadas no **item 2.2**, o sistema é linearizado em torno do ponto $\Psi = 0$. Logo, temos que $\sin \Psi = \Psi$ e $\cos \Psi = 1$ e:

$$((2m + M) \cdot R^2 + 2J_w + 2 \cdot n^2 \cdot J_m) \ddot{\theta} + (MLR - 2n^2 J_m) \ddot{\Psi} = F_\theta \quad (61)$$

$$(MLP + 2n^2 J_m) \ddot{\theta} + (ML^2 + J_\Psi + 2n^2 J_m) \ddot{\Psi} = F_\Psi \quad (62)$$

$$\left(\frac{m \cdot W^2 \cdot J_\phi}{2} + \frac{W^2 \cdot (J_w + n^2 J_m)}{2R^2} \right) \ddot{\theta} = F_\phi \quad (63)$$

Ao reescrevê-las em forma de matriz, temos:

$$E \begin{bmatrix} \ddot{\theta} \\ \ddot{\Psi} \end{bmatrix} + F \begin{bmatrix} \dot{\theta} \\ \dot{\Psi} \end{bmatrix} + G \begin{bmatrix} \theta \\ \Psi \end{bmatrix} = \begin{bmatrix} v_l \\ v_r \end{bmatrix}$$

Temos também:

$$I = \frac{m \cdot W^2}{2} + J_\phi + \frac{W^2 \cdot (J_w + n^2 J_m)}{2R^2} \quad (64)$$

$$J = \frac{W^2 \cdot (\beta + f_w)}{2R^2} \quad (65)$$

$$K = \frac{W \cdot \alpha}{2R} \quad (66)$$

$$E = \begin{bmatrix} (2m + M)R^2 + 2J_w + 2J_m n^2 & MLR - 2J_m n^2 \\ MLR - 2J_m n^2 & ML^2 + J_\Psi + 2J_m n^2 \end{bmatrix} \quad (67)$$

$$F = 2 \begin{bmatrix} \beta + f_w & -\beta \\ -\beta & \beta \end{bmatrix} \quad (68)$$

$$G = \begin{bmatrix} 0 & 0 \\ 0 & -MgL \end{bmatrix} \quad (69)$$

$$H = 2 \begin{bmatrix} \alpha & \alpha \\ -\alpha & -\alpha \end{bmatrix} \quad (70)$$

Com as variáveis de estado x_1 e x_2 e u como entrada, temos:

$$x_1^T = [\theta \quad \Psi \quad \dot{\theta} \quad \dot{\Psi}]$$

$$x_2^T = [\phi \quad \dot{\phi}]$$

$$u^T = [v_l \quad v_r]$$

Logo, podemos escrever as expressões na forma:

$$\dot{x}_1 = A_1 x_1 + B_1 u \quad (71)$$

$$\dot{x}_2 = A_2 x_1 + B_2 u \quad (72)$$

Sendo os coeficientes indicados por:

$$A_1 = \begin{bmatrix} 0 & 0 & 1 & 0 \\ 0 & 0 & 0 & 1 \\ 0 & A_{32} & A_{33} & A_{34} \\ 0 & A_{42} & A_{43} & A_{44} \end{bmatrix} \quad (73)$$

$$B_1 = \begin{bmatrix} 0 & 0 \\ 0 & 0 \\ B_3 & B_3 \\ B_4 & B_4 \end{bmatrix} \quad (74)$$

$$A_2 = \begin{bmatrix} 0 & 1 \\ 0 & -\frac{J}{I} \end{bmatrix} \quad (75)$$

$$B_2 = \begin{bmatrix} 0 & 0 \\ -\frac{K}{I} & \frac{K}{I} \end{bmatrix} \quad (76)$$

Com:

$$\det = \det(E) \quad (77)$$

$$A_{32} = -\frac{gMLE(1, 2)}{\det} \quad (78)$$

$$A_{42} = \frac{gMLE(1, 1)}{\det} \quad (79)$$

$$A_{33} = -\frac{2[(b + f_w) \cdot E(2, 2) + b \cdot E(1, 2)]}{\det} \quad (80)$$

$$A_{43} = \frac{2[(b + f_w) \cdot E(2, 2) + b \cdot E(1, 1)]}{\det} \quad (81)$$

$$A_{34} = 2b \cdot \frac{E(2, 2) + E(1, 2)}{\det} \quad (82)$$

$$A_{44} = -2b \cdot \frac{E(1, 1) + E(1, 2)}{\det} \quad (83)$$

$$B_3 = a \cdot \frac{E(2, 2) + E(1, 2)}{\det} \quad (84)$$

$$B_4 = -a \cdot \frac{E(1, 1) + E(1, 2)}{\det} \quad (85)$$

2.4 Simulações

2.4.1 S-Function

A partir dos arquivos de referência do trabalho, *NXTway_init.m* e *NXTway_simu.slx*, é executada a simulação do sistema abaixo, utilizando o modelo de S-Functions.

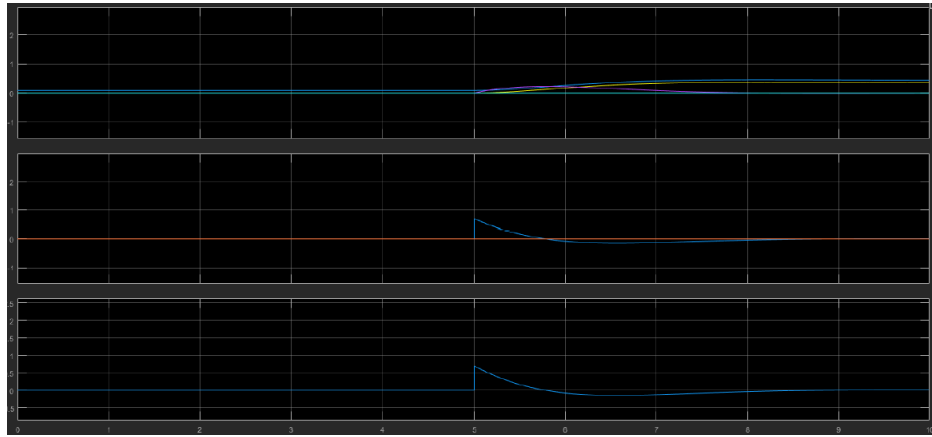


Figura 3: Simulação S-Functions.

No gráfico da **Figura 3** temos a variação do *body pitch*, em azul, e *body yaw*, em vermelho. Nele também pode-se observar a resposta do sistemas à perturbações em sua inércia, onde se tem o assentamento como resposta das derivadas na ordenada nula. Da mesma forma, o gráfico superior representa o *body pitch* e *body yaw*, de acordo com o avanço temporal.

2.4.2 ode45

Utilizando o arquivo “*NXTway_figs.m*”, é obtido outra forma de visualização da **Figura 3**.

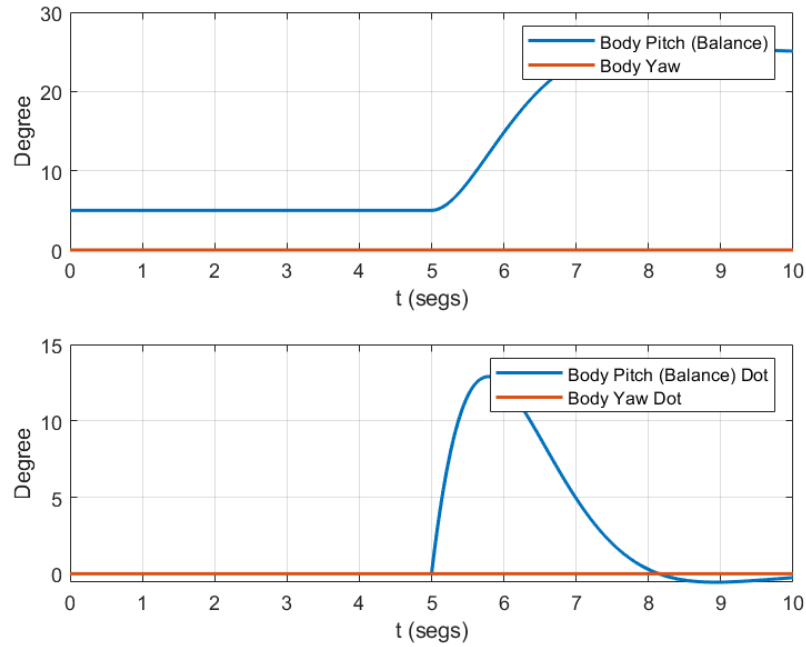


Figura 4: Simulação ode45.

Apesar representar o mesmo da **Figura 3**, nesta visualização temos as transições de *body yaw Dot* de forma menos intensa.

2.4.3 Modelo Linear

Utilizando o algoritmo abaixo, modelo linear foi simulado, com apoio da ferramenta **ode45** do Matlab:

```

>> g = 9.81;
    m = 0.03;
    R = 0.04;
    Jw = m*(R^2)/2;
    M = 0.6;
    W = 0.14;
    D = 0.04;
    H = 0.144;
    L = H/2;
    Jy = M*(L^2)/3;
    Jo = M*(W^2+(D^2))/12;
    Jm = 10^-5;
    Rm = 6.69;
    Kb = 0.468;
    Kt = 0.317;
    n = 1;
    fm = 0.0022;
    fw = 0;
    a = n*Kt/Rm;
    b=(n*Kt*Kb/Rm)+fm;
    J = (W^2)*(b+fw)/(2*(R^2));
    I = (m*(W^2)/2)+Jo+(W^2)*(Jw+Jm*(n^2))/(2*(R^2));
    K = W*a/(2*R);
    E = [(2*m+M)*(R^2)+2*Jw+2*Jm*(n^2) M*L*R-2*Jm*(n^2);M*L*R-2*Jm*(n^2) M*(L^2)+Jy+2*Jm*(n^2)];
    det = det(E);
    A32 = -g*M*L*E(1,2)/det;
    A42 = g*M*L*E(1,1)/det;
    A33 = -2*((b+fw)*E(2,2)+b*E(1,2))/det;
    A43 = 2*((b+fw)*E(1,2)+b*E(1,1))/det;
    A34 = 2*b*(E(2,2)+E(1,2))/det;
    A44 = -2*b*(E(1,1)+E(1,2))/det;
    B3 = a*(E(2,2)+E(1,2))/det;
    B4 = -a*(E(1,1)+E(1,2))/det;
    A = [0 0 1 0;0 0 0 1;0 A32 A33 A34;0 A42 A43 A44];
    B = [0 0;0 0;B3 B3;B4 B4];
    A2 = [0 1;0 -J/I];
    B2 = [0 0;-K/I K/I];
    v1 = 1; % entrada 1
    v2 = 1; % entrada 2

```

Para as entradas do sistema, v_1 e v_2 , é valor unitário. Assim, é representado o sistema com a aplicação de um degrau unitário. Conforme o comando abaixo, são simuladas as características do *body pitch*:

```
>> f = @(t,x) [x(3);x(4);A32*x(2)+A33*x(3)+A34*x(4)+v1*B3+v2*B3;
A42*x(2)+A43*x(3)+A44*x(4)+v1*B4+v2*B4];
[t,x] = ode45( f, [0,0.4], [0 0 0 0] );
plot(t,x(:,2),t,x(:,4));
legend('Body Pitch (Balance)', 'Body Pitch (Balance) Dot');
xlabel('t'); ylabel('x');
```

Foi necessário segmentar a variação temporal, a fim de mantê-la próxima de zero. Uma vez que este modelo é compatível somente com as proximidades do ponto em que ocorreu a linearização, com um período amostral grande, o efeito esperado do sistema deixa de ser observado. Ao utilizar o algoritmo, obtemos o seguinte gráfico:

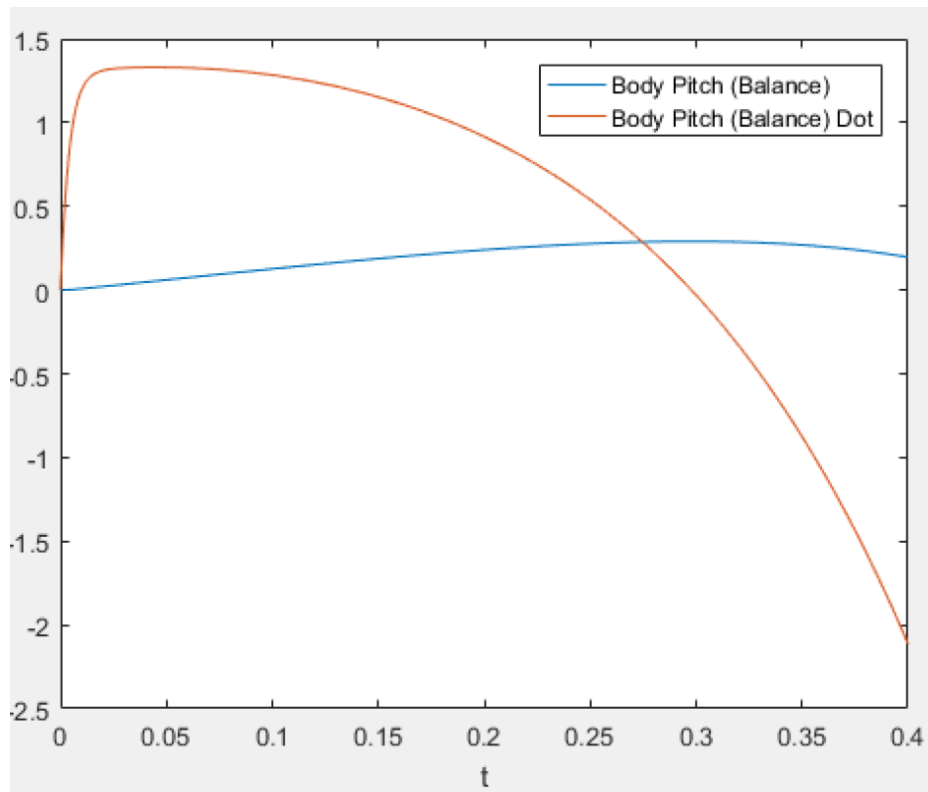


Figura 5: Modelo Linearizado Body Yaw.

Por conseguinte, código seguinte retorna a resposta da variação do *body*

yaw:

```
>> g = @(t,x) [x(2); (-J/I)*x(2)-K*v1/I+K*v2/I];  
[t,x]=ode45(g,[0,0.45],[0 0]);  
plot(t,x(:,1),t,x(:,2));  
legend('Body Yaw', 'Body Yaw Dot')  
xlabel('t'); ylabel('x');
```

Obtemos o seguinte gráfico:

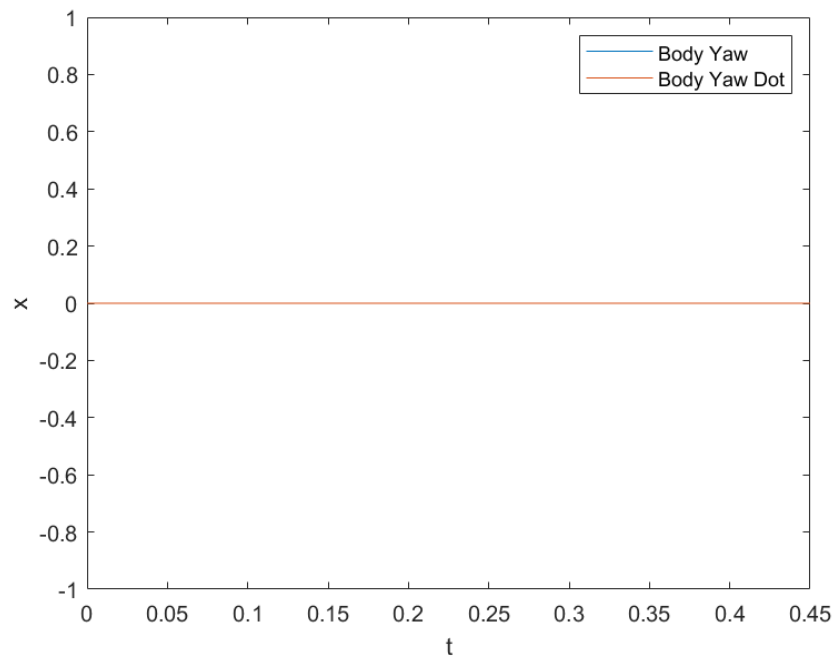


Figura 6: Modelo linearizado Body Yaw dot.

3 Discussão de Resultados

3.1 Análises

3.1.1 Variação do *body yaw*

A partir da **Figura 4** é possível perceber como o sistema é não linear. No momento em que analisamos a quebra do estado inercial do *body yaw*, é possível observar uma trajetória de curva, visualmente similar a uma representada por uma função de segundo grau. Entretanto lidamos com um tempo de subida menor que o tempo de descida, observável pela inclinação das curvas. Ainda, é possível ver que, passado o tempo de resposta da perturbação, o sistema volta a operar em um estado inerte, com variação aproximadamente nula do *body yaw*.

De forma similar, **Figura 5** também remete, visualmente, ao escopo de uma função de segundo grau. Suas propriedades são similares ao da referência. Ainda, como mencionado anteriormente, o período de amostragem foi curto, em decorrência da perda de informações úteis, a longo prazo, de um modelo linearizado. Neste caso, é possível ver este efeito, dado que, passado o tempo de resposta à perturbação, o sistema não volta a um estado inerte na ordenada nula.

Unindo as informações, é possível concluir positivamente sobre a compatibilidade entre o modelo não linearizado e o linearizado, mas somente quando analisamos este em pontos próximos ao linearizado.

3.1.2 Variação do *body yaw*

Ainda a partir **Figura 4** vemos que a variação do *body yaw*, se manteve constante, em valor nulo. O mesmo ocorreu com a resposta indicada na **Figura 6**, o que indica compatibilidade entre ambos os modelos, de forma satisfatória.

3.2 Controle Realimentado

O sistema de controle é baseado em:

$$u = -K_x + N_r \quad (86)$$

Em que temos:

$$x_1^T = [\theta \quad \Psi \quad \phi \quad \dot{\theta} \quad \dot{\phi}] \quad (87)$$

$$u^T = [v_l \quad v_l] \quad (88)$$

$$N^T = [-0.70771 \quad 0.0701] \quad (89)$$

$$K = \begin{bmatrix} -0.0224 & -25.4867 & -0.7071 & -1.0362 & -2.2530 & -0.0076 \\ -0.0224 & -25.4867 & 0.7071 & -1.0362 & -2.2530 & 0.0076 \end{bmatrix} \quad (90)$$

Ao manipular os códigos anteriores e adicionar novos parâmetros. Neste caso, foi selecionado valor unitário para 'r', a fim de ver as influências que a referência de comando do sistema tem. Em seguida, reajustando os parâmetros de x_1 , de acordo com a realimentação proposta, encontramos a seguinte resposta para o *body pitch*:

```
>> Kn = [-0.0224 -25.4867 -0.7071 -1.0362 -2.253 -0.0076;
          -0.0224 -25.4867 0.7071 -1.0362 -2.253 0.0076]
N = [-0.7071;0.7071];
r = 1 %entrada de referencias
```

```
>> f = @(t,x) [x(3);
               x(4);
               A32*x(2)+A33*x(3)+A34*x(4)+(-Kn(1,1)*x(1)-Kn(1,2)*x(2)-
               Kn(1,4)*x(3)-Kn(1,5)*x(4)+N(1,1)*r)*B3+(-Kn(2,1)*x(1)-Kn(2,2)*x(2)-
               Kn(2,4)*x(3)-Kn(2,5)*x(4)+N(2,1)*r)*B3;
               A42*x(2)+A43*x(3)+A44*x(4)+(-Kn(1,1)*x(1)-Kn(1,2)*x(2)-
               Kn(1,4)*x(3)-Kn(1,5)*x(4)+N(1,1)*r)*B4+(-Kn(2,1)*x(1)-Kn(2,2)*x(2)-
               Kn(2,4)*x(3)-Kn(2,5)*x(4)+N(2,1)*r)*B4];
```

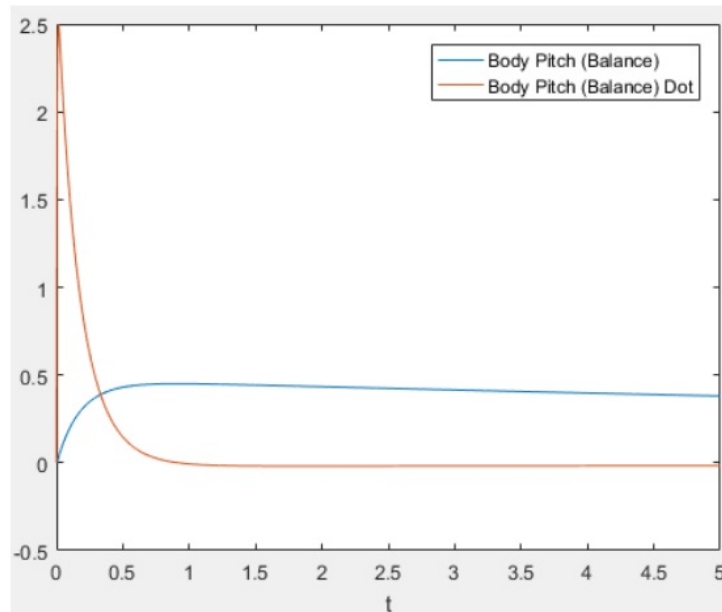


Figura 7: body yaw Realimentado

Como observado, o gráfico plotado é parecido ao encontrado na **Figura 4**. Porém, diferentemente do que foi observado no modelo linearizado, este modelo atua como esperado em todos os pontos do período de análise, reagindo à perturbações, mas mantendo-se estável em estado de inércia.

Com relação ao *body yaw*, encontramos:

```
>> g = @(t,x) [x(2); (-J/I)*x(2) - (K*(-Kn(1,3)*x(1) -  
Kn(1,6)*x(2) + N(1,1)*r)/I) + K*(-Kn(2,3)*x(1) - Kn(2,6)*x(2) + N(2,1)*r)/I];  
[t,x]=ode45(g,[0,20],[0 0]); |
```

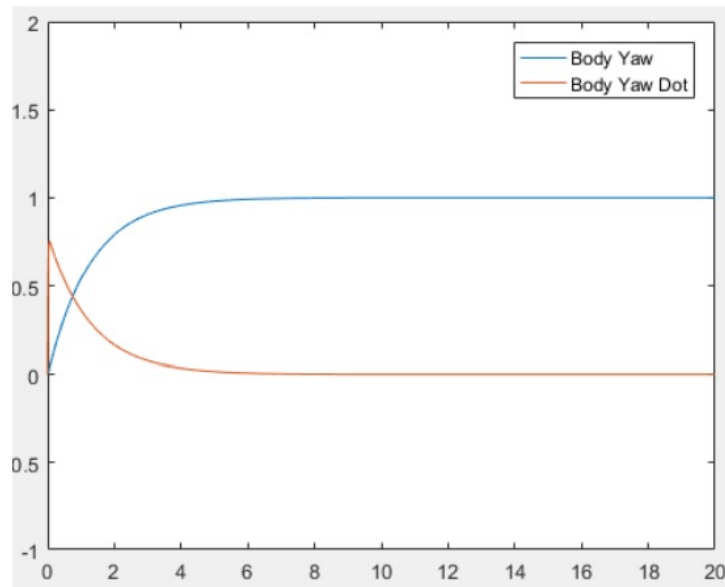


Figura 8: body yaw Realimentado.

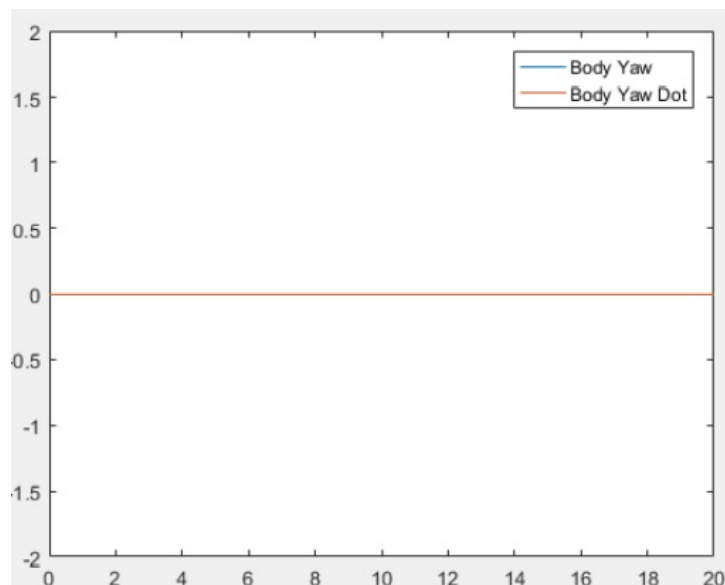


Figura 9: Body yaw Realimentado, $r = 0$

Neste gráfico é possível ver a influência que o fator 'r' possui sobre a

movimentação do *Segway*; o *body yaw* do sistema estabiliza-se no valor indicado por 'r'. Ainda, como esperado, assim que o sistema alcança o equilíbrio, constante, a variação (*body yaw dot*) tende a zero, assim como foi apresentado os modelos anteriores.

Como exemplo de que este modelo mantém-se compatível com os demonstrados anteriormente, a figura 8 indica a resposta do *body yaw* quando 'r' é definido nulo.